

**ЭКСПЕРИМЕНТЫ С ВОЛНАМИ НА МЕЛКОЙ ВОДЕ,
ГЕНЕРИРУЕМЫМИ ДВИЖЕНИЕМ
ТОРЦЕВОЙ СТЕНКИ БАССЕЙНА**

УДК 532.59

В. И. Букреев, Н. П. Туранов

**Институт гидродинамики им. М. А. Лаврентьева СО РАН,
630090 Новосибирск**

Призматический бассейн прямоугольного поперечного сечения с горизонтальным дном длиной L и шириной B заполнен на глубину h покоящейся водой. В момент времени $t = 0$ одна из торцевых стенок бассейна начинает перемещаться по заданному закону. Представляют интерес силы, действующие на стенку, и волновые движения в бассейне. В данной работе приведены результаты экспериментального изучения волн, причем только гравитационных.

Если ограничиться плоскими волнами, интервалом времени до прихода в рассматриваемую точку пространства отраженных волн и не учитывать влияния воздуха, поверхностного натяжения, вязкости и сжимаемости воды, то невозмущенное состояние динамической системы характеризуется тремя заданными параметрами: глубиной h , ускорением силы тяжести g и плотностью воды ρ . Кинематические характеристики волн зависят лишь от h и g , а ρ играет существенную роль только при анализе сил. Без дополнительной информации о возмущении, вносимом в систему, из этих величин нельзя составить ни одного безразмерного комплекса.

Но имеются, по крайней мере, две критические скорости [1]: $c_* = \sqrt{gh}$ и $c_{**} = \sqrt{2gh}$, в окрестности которых следует ожидать качественных изменений в картине гравитационных волн при любом способе их генерации. В частности, c_* ограничивает область существования стационарных гармонических волн, а c_{**} — область существования кноидальных (в том числе уединенных) волн [1]. Способ генерации волн движением торцевой стенки привлекателен тем, что он позволяет вносить возмущения со скоростями, намного превышающими критические. Полезно отметить также, что задача о гравитационных волнах на мелкой воде имеет определенную аналогию с фундаментальной задачей газовой динамики о движении поршня в трубе [2].

Ранее выполненные эксперименты были связаны главным образом с двумя прикладными проблемами. В одной из них необходимо знать силовое воздействие жидкости на стенку [3]. Во второй проблеме основной является задача о волнопродукторе, которую можно считать обратной рассматриваемой задаче: подобрать такой закон движения стенки, при котором образуются волны заданного вида. Одно из крупных достижений этого направления — экспериментальная реализация процесса обрушения волн в заданном месте бассейна [4].

Работы расчетно-теоретического характера основаны на модели потенциального движения жидкости. При аналитических исследованиях используется метод разложения по малому параметру. Малым параметром служит либо отношение глубины воды к длине волны (теория мелкой воды) [2], либо безразмерное время [5], либо отношение амплитуды волны к ее длине [6]. В последнее время выполнено много численных экспериментов

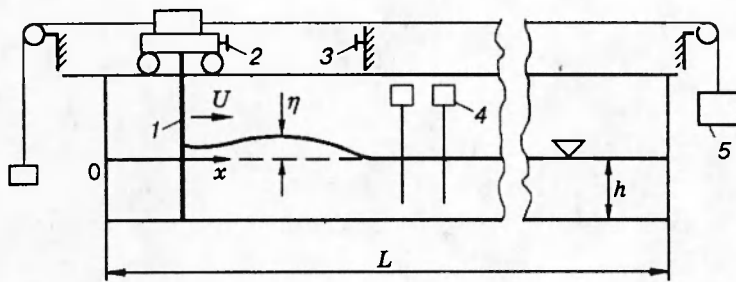


Рис. 1

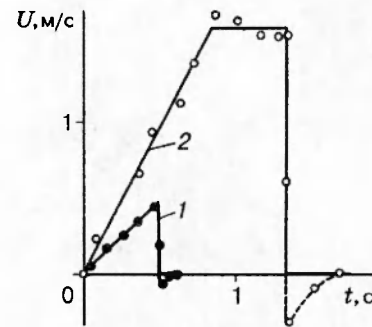


Рис. 2

на основе полной модели потенциального движения (см., например, [7, 8]). Заслуживает внимания так называемая дискретная модель несжимаемой жидкости [9], хорошо приспособленная для численных экспериментов. Ценная информация по рассматриваемым далее вопросам содержится в [10].

В целом современные математические модели адекватно описывают физические процессы только в ограниченном диапазоне параметров. Особенно сложным препятствием для них является обрушение волн при сверхкритических скоростях, когда имеет место значительная диссипация энергии, и жидкость становится двухфазной. В численных экспериментах удается воспроизвести только начальную стадию процесса обрушения.

В данной работе экспериментально получено несколько десятков частных решений рассматриваемой задачи как при таких сочетаниях ее параметров, когда современные аналитические и численные методы должны хорошо описывать волновые движения, так и при больших сверхкритических скоростях распространения возмущений. В опытах длина бассейна ограничена, и при больших t важную роль играет параметр L . При наличии процесса обрушения волн существенно влияние вязкости и сжимаемости воздуха и воды, поверхностного натяжения, разности плотностей воды и воздуха.

Схема экспериментальной установки приведена на рис. 1. Плоская вертикальная пластина 1, перекрывающая все поперечное сечение бассейна, приводилась в движение тележкой 2 с помощью электромотора и падающего груза 5 одновременно. Пройдя заданный путь S , тележка резко останавливалась захватом 3. В результате с приемлемой точностью реализовывался один из простейших по числу параметров закон движения: постоянное ускорение на интервале времени $(0, T_1]$, равномерное движение со скоростью U_0 на интервале $(T_1, T_2]$ и резкая остановка при $t = T_2$.

На рис. 2 приведены два примера закона движения стенки. По оси абсцисс отложено время t от начала движения, по оси ординат — скорость тележки U . Экспериментальные точки получены численным дифференцированием сигнала реохордного датчика, регистрировавшего перемещение тележки $s(t)$. Линии соответствуют аппроксимации

$$U = \begin{cases} at & \text{при } 0 \leq t < T_1, \\ U_0 & \text{при } T_1 \leq t < T_2, \\ 0 & \text{при } t \geq T_2, \end{cases} \quad (1)$$

где $a, T_1, U_0 = aT_1$ и T_2 — параметры. Для линии 1 $T_2 = T_1$, и закон движения характеризуется только двумя параметрами: a и T_1 (или U_0) — $a = 96 \text{ см/с}^2$, $T_1 = 0,5 \text{ с}$ ($U_0 = 48 \text{ см/с}$). Линия 2 описывается тремя параметрами: $a = 196 \text{ см/с}^2$, $T_1 = 0,82 \text{ с}$ и

$$T_2 = 1,32 \text{ с } (U_0 = 161 \text{ см/с}).$$

Из-за упругости механических систем в эксперименте невозможно мгновенно остановить стенку. При изучении гравитационных волн это и нежелательно. В результате упругости захвата и других элементов тележка после остановки немного откатывалась назад со скоростью, значительно меньшей U_0 . На рис. 2 это нашло отражение в том, что при $t > T_2$ скорость U принимает отрицательные значения. Длина пути, пройденного стенкой при попятном движении, не превышала 1% от S . Предполагается, что такое отклонение от аппроксимации (1) несущественно влияло на инерционные гравитационные волны.

Параметр $B = 20$ см, параметры h , a , T_1 , T_2 и L варьировались. С помощью волномеров 4 на рис. 1 измерялось отклонение свободной поверхности η от положения равновесия. Далее приводятся результаты измерений неподвижными волномерами, регистрировавшими $\eta(t)$ при фиксированных значениях продольной координаты x (неподвижная ось x показана на рис. 1). Дополнительная информация получалась волномерами, закрепленными на тележке, а также фотосъемкой. Скорость распространения возмущения c оценивалась по сигналам двух волномеров, разнесенных на $\Delta x \leq 30h$.

В центре внимания при проведении опытов были два фундаментальных вопроса: может ли возмущение распространяться со сверхкритической скоростью; если да, то сохраняет ли оно при этом устойчивость? Неустойчивость гравитационных волн проявляется в их обрушении.

В рассматриваемой гидродинамической задаче положительный ответ на первый вопрос следует из закона сохранения массы, и можно реализовать возмущение с практически неограниченным значением c . Поперечное поле силы тяжести препятствует подъему вытесняемой стенкой жидкости по вертикали, тогда как по оси x аналогичного ограничения нет, если $L \rightarrow \infty$. Во всех выполненных опытах передний фронт возмущения обгонял движущуюся стенку независимо от того, двигалась ли она с докритической или со сверхкритической скоростью. При достаточно больших U_0 скорость распространения c значительно превышала c_{**} .

Вопрос об устойчивости возмущений более сложный. Он достаточно хорошо изучен при $c < c_{**}$. В частности, в диапазоне $c_* < c < c_{**}$ существуют гладкие устойчивые уединенные волны. Приведем еще один пример гладкой устойчивой волны, для которой c больше c_* , но меньше c_{**} . Эта волна отличается от уединенной. Она нестационарна. Влияние дисперсии в ней преобладает над влиянием нелинейности, что и обуславливает ее устойчивость. Стабилизирующую роль играет также вязкость воды.

Упомянутая волна получена при $h = 4,9$ см и значениях a , T_1 и T_2 , соответствующих линии 1 на рис. 2. На рис. 3 волна зарегистрирована как функция t при $x_1 = 42$ см (a) и при $x_2 = 297$ см (b). Стрелкой показан момент прихода волны, отразившейся от неподвижной торцевой стенки, для которой $x_3 = L = 336$ см.

Обсуждаемое возмущение нестационарно, и величина c определена для него как скорость перемещения той точки переднего склона волны, которая отклонилась вверх от положения равновесия на величину $\eta_{0,5} = \eta_m/2$ (η_m — высота первого гребня). Следует отметить, что в данном примере все другие точки переднего склона перемещались со скоростью, отличавшейся от c не более чем на 5%. Однако для устойчивости важно, какие именно точки переднего склона перемещаются быстрее: у вершины или у подошвы. Для возмущения на рис. 3 точки у подошвы двигались быстрее, и волна была устойчивой.

Для рис. 3, a $c = 83,3 \text{ см/с} = 1,202c_* = 0,850c_{**}$. Волна сильно несимметрична. За высоким передним гребнем распространяется цуг почти периодических убывающих по

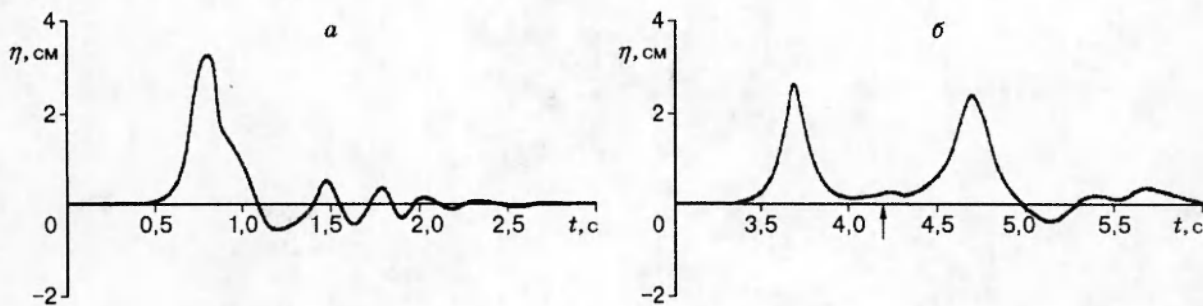


Рис. 3

амплитуде волн. Понижение уровня на заднем склоне первого гребня происходит немо-
нотонно. С ростом x возмущение стремится по форме к уединенной волне, но в данном
примере не становится таковой. Это в значительной мере обусловлено влиянием вязкости
воды, которая нарушает баланс эффектов нелинейности и дисперсии и приводит к тому,
что волна остается нестационарной вплоть до полного вырождения.

При $x_2 = 60,6h$ (рис. 3, б) неподвижный волномер зарегистрировал пару высоких греб-
ней. Первый из них является прямой волной, распространяющейся по покоящейся жидко-
сти, а второй — отраженной волной, распространяющейся по немного возмущенной жидко-
сти. Прямая волна близка по свойствам к уединенной. Для нее $c = 88,2 \text{ см/с} = 1,272c_* =$
 $0,900c_{**}$, т. е. немного больше, чем для рис. 3, а. Это означает, что некоторое время после
остановки стенки волна продолжала разгоняться, а затем начала замедляться из-за диспе-
рсии и вязкости. В последующие моменты времени по отношению к указанным на рис. 3, б
значение c медленно уменьшалось. Значение $c = c_*$ достигнуто на длине пробега около
 $500h$, причем волна 6 раз отразилась от неподвижных вертикальных стенок. При отра-
жении сохранялась устойчивость, а высота и скорость распространения волны менялись
незначительно.

Нет сомнений, что математические модели на основе уравнений Навье — Стокса опи-

Таблица 1

$t, \text{ с}$	$\eta, \text{ см}$	$t, \text{ с}$	$\eta, \text{ см}$	$t, \text{ с}$	$\eta, \text{ см}$	$t, \text{ с}$	$\eta, \text{ см}$
0,40	0	1,30	-0,40	7,50	0,06	8,93	-0,25
0,42	0	1,40	0,02	7,60	0,40	9,00	-0,15
0,50	0,05	1,46	0,47	7,71	1,85	9,10	0,15
0,60	0,30	1,50	0,32	7,77	2,27	9,20	0,37
0,65	0,77	1,60	-0,38	7,81	1,86	9,30	0,43
0,72	2,17	1,65	-0,38	7,90	0,58	9,40	0,35
0,76	3,12	1,70	-0,12	8,00	0,14	9,50	0,16
0,77	3,22	1,77	0,31	8,10	0,10	9,60	0,04
0,78	3,24	1,80	0,26	8,20	0,11	9,70	-0,04
0,79	3,17	1,85	-0,07	8,30	0,27	9,80	-0,01
0,83	2,98	1,90	-0,29	8,40	0,72	9,90	0,05
0,86	1,76	1,95	-0,12	8,51	1,76	10,00	0,20
0,91	1,45	2,00	0,09	8,55	1,90	10,10	0,17
0,95	1,17	2,50	0,09	8,61	1,64	10,20	0,10
1,00	0,81	3,00	-0,12	8,70	0,64	10,30	0
1,10	-0,21	7,40	0	8,80	0,02	10,40	-0,02
1,20	-0,62	7,43	0	8,90	-0,24	10,50	-0,11

Таблица 2

t, c	η, cm	t, c	η, cm	t, c	η, cm	t, c	η, cm
3,22	0	4,23	0,23	5,20	-0,31	6,75	0,06
3,32	0,01	4,30	0,20	5,30	0,02	6,86	0,23
3,42	0,08	4,35	0,22	5,40	0,15	6,95	0,12
3,50	0,23	4,40	0,33	5,50	0,10	7,05	-0,05
3,55	0,55	4,50	0,64	5,53	0,10	7,13	-0,10
3,61	1,26	4,56	1,00	5,60	0,26	7,20	-0,06
3,64	2,00	4,61	1,66	5,70	0,48	7,30	0,01
3,67	2,54	4,65	2,12	5,80	0,29	7,40	0
3,72	2,00	4,69	2,32	5,90	0,14	7,50	0
3,76	1,30	4,74	2,00	6,00	0	7,60	0,09
3,80	0,74	4,81	1,12	6,08	-0,10	7,72	0,19
3,85	0,37	4,85	0,62	6,17	0	7,80	0,06
3,90	0,19	4,90	0,30	6,26	0,05	7,93	-0,20
3,95	0,14	4,95	0,07	6,36	0	8,00	-0,12
4,00	0,12	5,00	-0,11	6,44	-0,11	8,10	0,20
4,10	0,12	5,10	-0,37	6,55	-0,30	8,15	0,28
4,20	0,22	5,15	-0,41	6,65	-0,20	8,27	0

шут данный пример с большей точностью и детальностью, чем это удастся сделать в опытах. Для тестирования более простых математических моделей и численных методов приведены табл. 1 и 2 экспериментально полученных значений η (табл. 1 соответствует рис. 3,а, табл. 2 — рис. 3,б).

При $c > c_{**}$ возмущения неустойчивы. Их передний склон обрушивался. Если c не намного превышало c_{**} , то обрушение происходило не сразу. Зарегистрирован пример, в котором нестационарная волна оставалась гладкой вплоть до расстояний от движущейся стенки около $50h$. При интенсивном возмущении обрушение имело место непосредственно у движущейся стенки. Были примеры, когда обрушение происходило не только на переднем, но и на заднем склоне волны.

На рис. 4 приведен фотоснимок возмущения, полученный при $h = 1$ см, $L = 392$ см и значениях a , T_1 и T_2 для линии 2 на рис. 2 примерно через 0,1 с после остановки стенки. Волна распространяется слева направо. Примечательно, что на ее гребне имеются буруны и яма, а задний склон неустойчив.

Дальнейшая эволюция этого возмущения иллюстрируется на рис. 5, где приведена зависимость $\eta(t)$ при фиксированной разности $x - S = 75$ см ($S = 146,5$ см), 1 — прямая волна, распространяющаяся по покоящейся жидкости с $c_1 = 161,3$ см/с = $5,15c_* = 3,63c_{**}$, 2—



Рис. 4

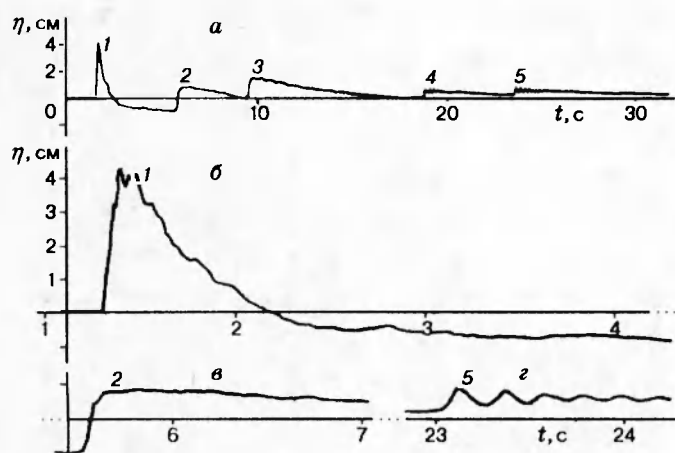


Рис. 5

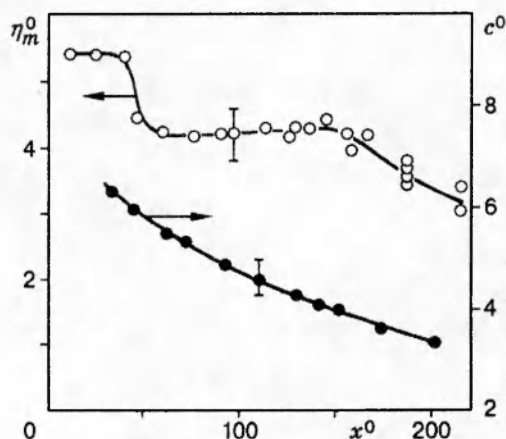


Рис. 6

5 — отраженные волны (нечетными номерами помечены те из них, которые двигались в положительном направлении x , а четными — в отрицательном). Для волны 2 $c_2 = 62,5$ см/с, а глубина воды перед ее фронтом практически равна нулю. В этом случае понятия c_* и c_{**} теряют смысл, и характерная скорость может быть определена как $c_{***} = \sqrt{2gH}$ (H — глубина жидкости за волной). Оказалось, что $c_2 \cong c_{***}$. Волны 3–5 распространялись с почти одинаковыми скоростями ($c_3 = 34,1$ см/с, $c_4 = 36,6$ см/с и $c_5 = 32,6$ см/с). Глубина воды перед их фронтами менялась, и критические скорости для них неопределенны.

На рис. 5, б–г волны 1, 2 и 5 показаны в более крупном масштабе. Волны 1–3 были неустойчивыми и обрушивались. Волна 4 и следующие за ней устойчивые и гладкие. Волна 5 похожа по форме на так называемый прыжок-волну.

Из-за сильной диссипации энергии высота и скорость распространения неустойчивых волн уменьшаются со временем значительно быстрее, чем устойчивых. На рис. 6 приведена информация о безразмерной высоте $\eta_m^0 = \eta_m/h$ и безразмерной скорости распространения $c^0 = c_1/\sqrt{gh}$ волны 1 в зависимости от $x^0 = (x - S)/h$. Скорость c^0 убывает монотонно. Высота η_m^0 резко уменьшается в окрестности $x^0 = 42$, затем сохраняет почти постоянное значение до $x^0 \cong 140$ и лишь после этого монотонно уменьшается. Такое поведение волны можно объяснить, обратившись к рис. 4. В окрестности $x^0 = 42$ исчезает бурун на гребне волны, а на интервале $x^0 < 140$ волна понижения уровня догоняет волну повышения уровня, и глубина жидкости между этими волнами сохраняется.

В целом выполненные опыты показали, что при рассмотренном законе движения стенки вносимые ею возмущения оказываются неустойчивыми, если $c > c_{**}$. Для таких возмущений устойчивость может сохраняться лишь на ограниченном интервале времени за счет нестационарности. Если и существуют долго живущие устойчивые возмущения с $c > c_{**}$, то для их реализации в опытах нужно использовать какой-либо другой способ внесения возмущений.

В [2] при анализе задачи о разрушении плотины в рамках первого приближения теории мелкой воды найдено гладкое решение для волны по сухому руслу со скоростью распространения переднего фронта, равной $2\sqrt{gH}$. В данных опытах волна 2 на рис. 5 распространялась по сухому руслу с меньшей скоростью, равной $\sqrt{2gH}$, и была неустойчивой.

Авторы выражают признательность Н. И. Макаренко за полезное обсуждение работы. В частности, он отметил, что численные расчеты на основе точной модели потенциально-го движения жидкости дают для второй критической скорости значение $1,29\sqrt{gh}$, т. е. несколько меньше значения $\sqrt{2gh}$, полученного во втором приближении теории мелкой воды, и обратил внимание на то, что для нестационарной волны на рис. 3 $c \cong 1,04\sqrt{g(h + \eta_m/2)}$. Это значение мало отличается от местной скорости распространения возмущений и согласуется с известным решением задачи газовой динамики об ускоренном движении поршня.

Работа выполнена при финансовой поддержке Российского фонда фундаментальных исследований (код проекта 95-01-01164а).

ЛИТЕРАТУРА

1. Овсянников Л. В., Макаренко Н. И., Налимов В. И. и др. Нелинейные проблемы теории поверхностных и внутренних волн. Новосибирск: Наука, 1985.
2. Stoker J. J. Water Waves. The Mathematical Theory and Applications. N. Y.; L.: Interscience Publishers, 1957. Рус. пер. Стокер Дж. Дж. Волны на воде. Математическая теория и приложения. М.: Изд-во иностр. лит., 1959.
3. Chan E. S., Melville W. K. Deep-water plunging wave pressure on a vertical plane wall // Proc. Roy. Soc. London. 1988. V. A417, N 1852. P. 95–131.
4. Dommermuth D. G., Yue D. K. P., Chan E. S., Melville W. K. Deep-water plunging breakers: a comparison between potential theory and experiments // J. Fluid Mech. 1988. V. 189. P. 423–442.
5. Chwang A. T. Nonlinear hydrodynamic pressure on an accelerating plate // Phys. Fluids. 1983. V. 26, N 2. P. 383–387.
6. Joo S. W., Schultz W. W., Messiter A. F. An analysis of the initial-value wavemaker problem // J. Fluid Mech. 1990. V. 214. P. 161–183.
7. Schultz W. W., Ramberg S. E., Griffin O. M. Steep and breaking deep-water waves // Proc. of 16th Symp. on Naval Hydrodynamics. Berkeley, 1986.
8. Miyata M., Matusukawa C., Kajitani H. Shallow water flow with separation and breaking wave // J. Soc. Naval Architects Japan. 1985. V. 158.
9. Франк А. М. Дискретная нелинейно-дисперсионная модель мелкой воды // ПМТФ. 1994. Т. 35, № 1. С. 34–42.
10. Longuet-Higgins M. S. Breaking waves in deep or shallow water // Proc. of 10th Symp. on Naval Hydrodynamics. Cambridge, 1974. P. 597–605.

Поступила в редакцию 13/IX 1995 г.
